

## ЛИТЕРАТУРА

1. Панин В. Е., Лихачев В.А., Гриняев Ю. В. Структурные уровни деформации твердых тел.— Новосибирск: Наука, 1985.
2. Рыбин В. В. Большие пластические деформации и разрушение металлов.— М.: Металлургия, 1986.
3. Диваков А. К., Коханчик Л. С., Мещеряков Ю. И. и др. ПМТФ, 1987, 3, 135.
4. Барахтин Б. К., Савенков Г. Г. // Тез. докл. I Всесоюз. науч.-техн. конф.— Л., 1986.
5. Владимиров В. И. // Вопросы теории дефектов в кристаллах.— Л., 1987.
6. Ханиаков Ш. Х. ФММ, 1988, 65, 1, 44.
7. Неймарк Ю. И., Ландау Л. С. Стохастические и хаотические колебания.— М.: Наука, 1987.
8. Савенков Г. Г., Мещеряков Ю. И., Васильков В. Б. // Физика прочности и пластичности металлов и сплавов.— Куйбышев, 1989.
9. Ландау Л. Д., Лифшиц Е. М. Гидродинамика.— М.: Наука, 1988.
10. Годунов С. К. Элементы механики сплошной среды.— М.: Наука, 1978.
11. Степанов Г. В. ПМТФ, 1982, 1, 150.
12. Сагомонян А. Я. Проникание.— М.: Изд-во МГУ, 1974.
13. Мещеряков В. И. Поверхность, 1988, 3, 101.
14. Голубев В. К. ПМТФ, 1983, 6, 159.

г. Ленинград

Поступила в редакцию 11/IV 1989

УДК 662.215

Б. С. Ермоляев, В. А. Фотеенков, Б. А. Хасаинов,  
А. А. Сулимов, С. Е. Малинин

## КРИТИЧЕСКИЕ УСЛОВИЯ ПЕРЕХОДА ГОРЕНИЯ ВО ВЗРЫВ В ЗЕРНЕННЫХ ВЗРЫВЧАТЫХ МАТЕРИАЛАХ

Предотвращение перехода горения во взрыв (ПГВ) и детонацию в аварийных ситуациях — актуальная проблема производства, хранения и транспортировки твердых ВВ. Для ее решения необходимо расширить знания о природе и механизмах, обеспечивающих катастрофическое ускорение горения при аварийных взрывах. Большую пользу может принести разработка новых модельных подходов, позволяющих переносить на натурные взрывы результаты лабораторных измерений и численного моделирования.

Ранее [1] ПГВ в твердых ВВ изучался в основном применительно к условиям замкнутой прочной оболочки. Однако в аварийных ситуациях чаще всего исходный очаг горения возникает в ВВ, имеющем свободные поверхности либо окруженном малопрочной оболочкой или мягким упаковочным материалом. В результате развитие горения в очаге уже на начальной стадии испытывает интенсивное воздействие разгрузки из-за разлета ВВ, окружающего очаг. Особенно большой эффект дает действие разгрузки, когда горение в очаге протекает в послойном режиме либо когда возникшее конвективное горение еще недостаточно интенсивно. При этом критические условия ПГВ, фиксируемые по массе ВВ, давлению в очаге горения, прочности оболочки и т. д., а также время развития взрыва могут изменяться в широких пределах.

Отмеченные особенности процесса должны адекватно воспроизвестись при моделировании и регистрации критических условий аварийных (крупномасштабных) взрывов. Традиционные методы, применяемые для измерения параметров, характеризующих склонность ВВ к ПГВ, например длины преддетонационного участка [1], не отражают в полной мере это обстоятельство. Указанной цели лучше всего соответствует

© 1990 Ермоляев Б. С., Фотеенков В. А., Хасаинов Б. А., Сулимов А. А., Малинин С. Е.

«метод критической высоты слоя ВВ» [2]. Суть его состоит в следующем. Если в стальную трубу с закрытым нижним торцом поместить исследуемое ВВ и поджечь спиралью накаливания, уложенной под слой ВВ на дно трубы, то в зависимости от высоты слоя  $H$  реализуется один из двух следующих результатов. При небольших  $H$ , меньших некоторой критической высоты  $H_{kp}$ , горение протекает спокойно, без взрыва, горящее вещество частично выбрасывается из трубы через верхний открытый торец и догорает на подставке. Однако, если  $H > H_{kp}$ , горение заканчивается взрывом. Параметры, измеряемые в критических условиях (критические высота и давление), могут непосредственно применяться для реалистической оценки склонности ВВ к ПГВ. Метод удобен также для отладки и проверки математических моделей, что открывает возможности для создания методик прогнозирования критических условий аварийных взрывов.

В данной статье приведены результаты теоретических и экспериментальных исследований, которые позволили более ясно понять механизм формирования критической высоты слоя, получить банк данных, характеризующих критические условия ПГВ для ряда типичных взрывчатых материалов в трубах различного диаметра, а также создать и проверить достаточно простую теоретическую модель процесса.

Прежде чем перейти к изложению полученных результатов, сделаем следующее замечание. На первый взгляд, может сложиться впечатление, что  $H_{kp}$  почти не отличается от длины преддетонационного участка  $L_{pr}$  — параметра, традиционно используемого для характеристики склонности ВВ к ПГД в замкнутой оболочке [1]. Действительно, обе величины определяются в трубах с инициированием от закрытого торца. Однако между ними имеются принципиальные различия. При измерении  $L_{pr}$  очаг горения, по крайней мере на начальных стадиях процесса, пока отсутствует заметная деформация оболочки, защищен от действия разгрузки. Для повышения воспроизводимости результатов в этом случае обычно используют достаточно мощный воспламенитель, который обеспечивает развитие процесса сразу в режиме конвективного горения, минуя стадию послойного горения, так как при наличии последней значительно возрастает разброс характеристик. Таким образом, при традиционной постановке эксперимента исключается переход горения в очаге от послойного к конвективному, во многом определяющий специфику аварийных взрывов. Следовательно, различия в условиях измерения  $H_{kp}$  и  $L_{pr}$  носят принципиальный характер. Как будет показано ниже, между этими параметрами имеются и количественные различия, причем в зависимости от размера частиц  $H_{kp}$  может быть как больше, так и меньше  $L_{pr}$ .

### Эксперимент

Опыты, как и в работе [3], проводились главным образом с зернено-нитроклетчаткой (одноосновным порохом) нескольких марок, различающихся размером частиц. В ряде опытов исследовался октоген с частицами размером  $\sim 0,4$  мм и мелкозерненый двухосновный порох с частицами эффективным диаметром  $\sim 0,45$  мм. Продукт в виде слоя со свободной верхней границей помещался в стальную трубу, снабженную донным фланцем с отверстием под датчик давления. Диаметр трубы варьировался от 16 до 500 мм, толщина стенок  $5 \div 20$  мм. Горение (в послойном режиме) инициировалось снизу из-под слоя продукта спиралью накаливания, которая навивалась на целлулоидную пластинку размером  $4 \times 10$  мм. Давление в очаге горения регистрировалось пьезоэлектрическим датчиком типа Т-6000 или индукционным датчиком ДДИ-20. В ряде опытов проводилась скоростная киносъемка картины взрыва, а также оценивался тротиловый эквивалент взрыва по параметрам воздушной ударной волны и размерам воронки, образующейся после взрыва.

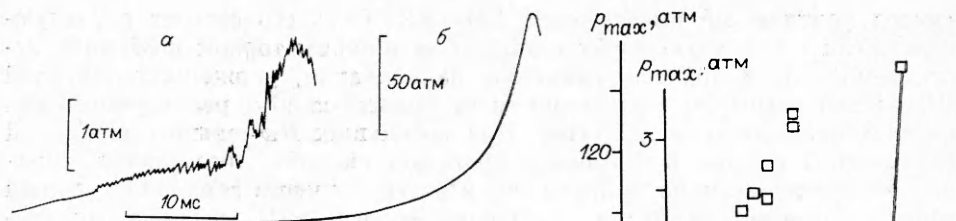
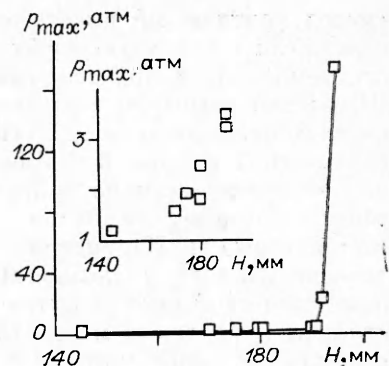


Рис. 1. Осциллограммы изменения давления в очаге горения,  $H = 180$  (а) и  $220$  мм (б).

Рис. 2. Зависимость  $p_{\max}(H)$ . Зерненая нитроклетчатка,  $d_0 = 1,6$  мм.



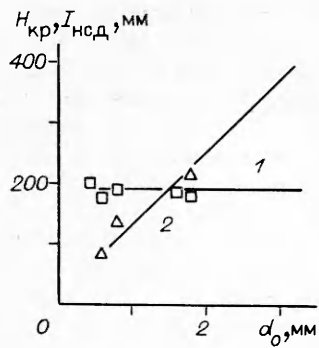


Рис. 3. Зависимость  $H_{\text{кр}}$  (1) и  $L_{\text{нед}}$  (2) от размера частиц.  
□ — двухосновный порох.

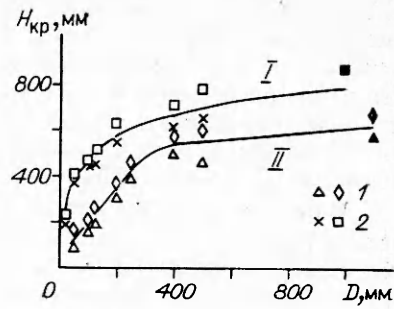


Рис. 4. Зависимость  $H_{\text{кр}}$  от диаметра трубы для двухосновного пороха (I) и октогена (II).  
1 — невзрывное сгорание; 2 — взрыв.

симости от диаметра трубы наблюдаются следующие различия в картине развития горения в очаге. При  $D < 300$  мм горение протекало в одну стадию длительностью 1–3 с с образованием над срезом трубы факела высотой 2–3 м. В трубах большего диаметра наблюдалась две стадии: вначале из трубы вырывался столб огня высотой 10–15 м, спустя 2–3 с пламя спадало до 1–2 м, а оставшееся вещество продолжало гореть 1,5–2 мин.

Влияние высоты слоя на  $p_{\text{max}}$  уже обсуждалось на примере рис. 2. В табл. 1 приведены аналогичные данные, полученные на двухосновном порохе в трубах диаметром 180 мм. С помощью таких данных определялись значения  $p_{\text{кр}}$ . В случае двухосновного пороха  $p_{\text{кр}} \approx 2,7$  атм независимо от  $D$  (в пределах точности эксперимента). Зависимость  $p_{\text{кр}}(d_0)$  изучалась на зернистой нитроклетчатке в трубах с  $D = 16$  мм. Для частиц с  $d_0 = 0,8 \div 3,3$  мм обнаружено уменьшение  $p_{\text{кр}}$  приблизительно от 4 до 2,5 атм. Для октогена полученных данных оказалось достаточно лишь для ориентировочной оценки величины  $p_{\text{кр}} = 5 \div 6$  атм.

Проведены специальные опыты, позволившие уточнить физику процесса. В пробковый шарик с размерами, близкими размеру частиц исследуемого пороха, задевался миниатюрный магнит. Шарик помещался сверху на поверхность слоя, а на верхний конец трубы надевалась индукционная катушка. По ЭДС, наводимой в ней, определяли начало движения магнита, которое отождествлялось с началом движения слоя продукта и сопоставлялось с записью давления в очаге горения. Обнаружено, что при  $H < H_{\text{кр}}$  момент достижения в очаге  $p_{\text{max}}$  и начало движения слоя приблизительно совпадают и, следовательно, спад давления и отсутствие взрыва непосредственно связаны с разбросом вещества.

Опытами, в которых трубы делались из различных материалов (сталь, плексиглас) и канал трубы подвергался дополнительной обработке, показано, что состояние стенок трубы (т. е. их шероховатость) оказывает сильное влияние на величину  $H_{\text{кр}}$  в трубах небольшого диаметра. Так при переходе от шероховатого канала (из-под резца) к гладким шлифованным стенкам при  $D = 20$  мм величина  $H_{\text{кр}}$  возрастает приблизительно вдвое.

Полученные данные позволяют сформулировать представления о механизме ПГВ при аварийных загораниях твердых ВВ в объемах со свободными поверхностями или в малопрочных оболочках. В его основе —

Таблица 1

$H$ , мм	$p_{\text{max}}$ , атм	Время нарастания давления до $p_{\text{max}}$ , мс	Результат
460	1,4	80	Горение
480	1,25	12	»
560	1,8	90	»
580	2,7	200	»
630	>100	160	ПГВ с разрушением трубы

два конкурирующих процесса: ускоряющееся горение в очаге, переходящее по мере нарастания давления с послойного режима на конвективный, и разгрузка очага, ограничивающая рост давления за счет разброса ВВ, окружающего очаг. Если разгрузка доминирует, горящее вещество выбрасывается из трубы, давление в очаге не превышает  $p_{kp}$  и взрыв отсутствует. Если действие разгрузки оказывается недостаточно интенсивным, горение, неограниченno ускоряясь в результате роста давления, неминуемо заканчивается взрывом.

Влияние диаметра трубы можно объяснить следующим образом. Во-первых, при увеличении  $D$  уменьшается вклад трения ВВ о стенки, что облегчает разгрузку очага и способствует росту  $H_{kp}$ . Во-вторых, если в трубах небольшого диаметра ( $\sim 20$  мм) при используемом способе инициирования горение, скорее всего, охватывает достаточно однородно все сечение заряда, т. е. фронты горения и фильтрации могут рассматриваться как плоские, то при увеличении  $D$  искривление фронтов (повороту, в пределе фронт пламени стремится принять сферическую форму) должно приводить к интенсификации стока газов из очага за счет фильтрации и соответственно к уменьшению скорости нарастания давления.

Этот эффект, так же как и вклад трения о стенки трубы, приводит к росту  $H_{kp}$  при увеличении диаметра трубы лишь до определенного предела, что позволяет объяснить наличие участка насыщения на рис. 4.

### Теоретическая модель

Для теоретического анализа рассматриваемого явления создана модель, в которую вошли сформулированные выше представления о механизме. Учитывалось, что горение в очаге начинается в послойном режиме и лишь затем, по мере достижения необходимых условий, переходит в конвективный режим. На рис. 5 приведена схема, поясняющая теоретическую модель. Пористый слой ВВ предполагается несжимаемым и недеформируемым, течение — одномерным, плоскосимметричным. Ось  $x$  направлена вдоль оси трубы, заполненной на высоту  $H$  исследуемым ВВ. В начальный момент времени  $t = 0$  в плоскости  $x = 0$  (нижний закрытый торец трубы) инициируется послойное горение ВВ. Скорость регрессии  $U_p$  является функцией давления в очаге. Газообразные продукты, накапливаясь вблизи поверхности горения, создают повышение давления. Это вызывает фильтрацию газов по порам, движение слоя ВВ по трубе и выброс его из трубы. Полость между нижним торцом трубы и слоем ВВ, образующаяся из-за этого движения, также заполняется газообразными продуктами. Фильтрация газов по порам сопровождается прогревом и воспламенением поверхности пор. Возникает конвективное горение, резко ускоряющее газообразование.

В рамках одномерной модели влияние диаметра трубы проявляется только через силу трения, которая тормозит выброс ВВ из трубы. Для дисперсных веществ принято учитывать две составляющие: силу трения движения, пропорциональную квадрату массовой скорости течения вещества, и силу трения покоя, которая препятствует началу течения до тех пор, пока напряжение в слое не достигнет некоторой пороговой величины  $p^*$ . Последняя может быть оценена методами теории предельно-

напряженного состояния [5] либо получена из независимых экспериментов.

Для описания фильтрации, как и в [4], использовалась двучленная формула Эргана. Конвективное горение трактовалось в соответствии с упрощенной моделью, рассмотренной в [6]. В этой модели учтены некоторые свойства волны конвективного горения, проявляющиеся при скоростях течения га-

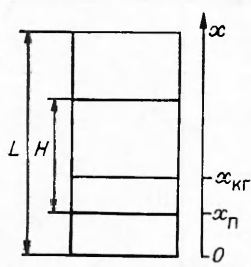


Рис. 5. Схема, поясняющая теоретическую модель.

зов в порах, много меньших скорости звука (соответствующий диапазон скоростей конвективного горения — до нескольких десятков метров в секунду). Примем, что фронт воспламенения — это поверхность, отделяющая зону фильтрации, где температура газов равна начальной температуре  $T_n$ , от зоны горения, где температура газа равна конечной температуре горения  $T_g$ . (Заметим, что последняя может быть гораздо ниже адиабатической температуры горения ВВ за счет недогорания, типичного для рассматриваемого уровня давлений.) Это оправданно, так как в рассматриваемых условиях ширина зоны прогрева, размещающейся между двумя указанными зонами, пренебрежимо мала по сравнению с их размерами. Помимо скачка температуры на фронте воспламенения терпят разрыв также плотность и скорость течения газа, тогда как давление слева и справа от фронта в данном приближении можно принять постоянным.

Далее, распределение давления в зоне горения и полости принято однородным. Распределение давления в зоне фильтрации определяется приближенно из решения уравнений фильтрации методом интегральных соотношений. Для пространственной аппроксимации выбран профиль типа пограничного слоя с двумя произвольными функциями времени. На примере решения тестовой задачи о нестационарной фильтрации газа в полу бесконечный слой с давлением на границе, которое задавалось либо в виде экспоненциально возрастающей, либо немонотонно изменяющейся функции времени, показано, что приближенное решение хорошо согласуется с полученным для уравнения фильтрации численным методом.

Скорость конвективного горения  $W$  принята пропорциональной скорости газов  $U_r$ , втекающих из зоны горения в зону фильтрации [6, 7]. Коэффициент пропорциональности включает число Нуссельта  $Nu$ , температуру газов, втекающих в поры,  $T_g$  и температуру  $T_n$ , при которой воспламеняется поверхность пор. Последняя величина считается константой, не зависящей от условий нагрева ВВ [4].

Конвективное горение возникает с задержкой, определяемой по моменту достижения на поверхности пор температуры  $T_n$ . Величина задержки вычислялась путем решения уравнения теплопроводности для отдельных частиц с использованием метода интегральных соотношений. За фронтом конвективного горения частицы ВВ горят по полной поверхности со скоростью регрессии, равной  $U_p$ .

Приведем систему определяющих уравнений. При  $0 \leq x \leq x_n + x_{k,r}$

$$[\rho_r(x_n + \varphi_n x_{k,r})]' = u_p \rho_k S_p + U_p \rho_k A_s x_{k,r} - \rho_k \varphi_n (U_\Phi - W), \quad (1)$$

$$x_n' = V_n,$$

$$W = x_{k,r}' = \begin{cases} 0, & t < t_3, \\ p U_r / E, & t \geq t_3, \end{cases} \quad (3)$$

$$\rho_k (1 - \varphi_n) HGV_n' = \begin{cases} 0, & p < p^*, \\ p - p_n - 2Hc_f (1 - \varphi_n) \rho_k V_n^2 / D, & p \geq p^*. \end{cases} \quad (4)$$

При  $x_n + x_{k,r} < x < L$

$$\begin{aligned} \partial p_\Phi / \partial t + \partial (p_\Phi U_\Phi) / \partial x &= 0, \\ -\partial p_\Phi / \partial x &= \varphi_n \mu U_\Phi / k + 1,17 p_\Phi U_\Phi^2 / (d_n R T_n), \\ x &= x_n + x_{k,r}: p = p_\Phi, \\ x &= L: p_\Phi = p_n, U_\Phi = 0. \end{aligned} \quad (5)$$

Начальные условия:

$$t = 0: x_n = x_{k,r} = V_n = p - p_n = p_\Phi - p_n = U_\Phi = 0.$$

Здесь  $t$  — время; штрих — производная по времени;  $x_n$  — размер полости;  $x_{k,r}$  — толщина слоя ВВ, охваченного конвективным горением;  $\rho_k$  и  $\rho_r =$

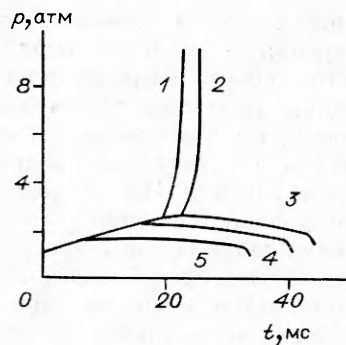


Рис. 6. Влияние высоты слоя на динамику изменения давления в очаге горения (расчет для базового варианта).

$H$ , мм: 1 — 220, 2 — 192,5, 3 — 185,6, 4 — 165, 5 — 110.

$= p/RT_r$  — плотности твердой фазы (исходного ВВ) и газа (продуктов горения);  $p$  — давление в зоне горения и полости;  $p_\Phi$  и  $U_\Phi$  — давление и скорость течения газов в зоне фильтрации, рассматриваемые как функции  $x$  и  $t$ ;  $U_p = Bp^*$ ;  $\varphi_n$  — начальная пористость;  $S_p$  — коэффициент, равный отношению скоростей послойного горения пористого и сплошного ВВ (в данных расчетах использовался в качестве подгоночного параметра);  $A_s = 6(1 - \varphi_n)/d_0$  — удельная поверхность частиц ВВ;  $d_0$  — эффективный диаметр частиц ВВ;  $H$  — высота слоя ВВ;  $c_f$  — коэффициент трения движения слоя ВВ о стенки трубы;  $D$  и  $L$  — диаметр и длина трубы;  $k$  — коэффициент газопроницаемости слоя ВВ;  $\mu$  — вязкость холодного газа;  $d_n$  — диаметр пор;  $t_3$  — время задержки конвективного горения (вычисляется из решения уравнения теплопроводности для частиц; вид уравнений и граничные условия приведены в [4]);  $G$  — коэффициент, учитывающий уменьшение массы ВВ при выбросе из трубы (он равен 1, пока  $x_n \leq L - H$  и  $(L - x_n)/H$ , если  $L - H < x_n \leq L$ );  $U_r = U_\Phi(x_{k,r}, t)T_r/(T_n)$ ;  $E = 4\lambda_k\rho_k c_h RT_r(T_n - T_h)^2/c_v \lambda_r Nu(T_r - T_n)(T_r - T_h)$ ;  $Nu = 0,152 \cdot (\varphi_n d_0 p_\Phi U_r / \mu)^{0.8}$  [6].

На рис. 6 в качестве примера приведены результаты расчетов, полученные при варьировании высоты слоя ВВ для базового варианта, отвечающего зерненои нитроклетчатке с  $d_0 = 0,8$  мм. В этих расчетах  $T_r = 1600$  К,  $p^*$  (атм) =  $0,018H$  (мм) — 0,8,  $S_p = 3,0$ ,  $c_f = 0,05$ ,  $U_p$  (см/с) =  $= 0,06p$  (атм),  $D = 20$  мм, значения остальных входных параметров — как в [4]. Отметим хорошее согласие расчетов с приведенными выше экспериментальными данными по виду кривых и наличию критической высоты слоя, разделяющей два режима развития горения в очаге.

В табл. 2 приведены расчетные данные, иллюстрирующие динамику изменения основных параметров процесса горения в очаге при двух вы-

Таблица 2

Условия расчета	$t$ , мс	$p$ , атм	$x_n$ , мм	$V_n$ , м/с	$x_{k,r}$ , мм	$W$ , м/с
I	0	1	0	0	0	0
	14,5	2,3	0	0	0	0
	21,3	2,8	1,5	2	0	0
	23,1	3	15,5	3,8	0,22	0,24
	25,0	6,4	25	7	1,6	2,6
	25,4	13,3	28	10,8	4,7	20
II	25,7	>100	—	--	—	—
	0	1	0	0	0	0
	14,5	2,3	0	0	0	0
	23,0	2,73	14	5	0	0
	25,3	2,72	26,3	7,1	0	0
	40,8	2,2	(Выброс ВВ из трубы)			

П р и м е ч а н и е. Зерненои нитроклетчатка,  $d_0 = 0,8$  мм,  $H_{kp} = 189$  мм.

I —  $H = 192,5$  мм,  $t_3 = 22$  мс, ПГВ;

II —  $H = 185,6$  мм, горение без ПГВ.

Таблица 3

$d_0$ , мм	$H_{kp}$ , мм	$p_{kp}$ , атм	$t_3$ , мс
0,01	14,7	16	0,14
0,03	33	8	0,7
0,1	84	3,8	3,6
0,2	140	3,2	8,8
0,4	184	3,1	14,5
0,6	189	2,9	19,4
0,8	189	2,73	22,1
1,6	176	2,4	35,9
3,3	159	2,1	65

Таблица 4

$T_n$ , К	$H_{kp}$ , мм при $d_0$ , мм	
	0,2	0,8
200	199	184
250	184	176
300	140	189
350	46	114
400	8,5	19

сотах слоя ВВ — большем и меньшем  $H_{kp}$ . Решающее влияние на развитие взрыва оказывает скорость разгрузки (разброса ВВ) на стадии зарождения конвективного горения, когда скорость  $W$  составляет несколько сантиметров в секунду. При уменьшении  $H$  разгрузка усиливается, ускорение конвективного горения отсутствует и давление в очаге проходит через максимум на уровне 2,73 атм.

В табл. 3 показано влияние размера частиц на критические условия развития взрыва. Видно, что в интервале размеров частиц  $0,6 \div 3,3$  мм это влияние оказалось слабым, что согласуется с соответствующими экспериментальными данными (см. рис. 3). Однако в области меньших размеров, где эксперимент не проводился, расчет предсказывает резкое уменьшение  $H_{kp}$ . Это объясняется ослаблением разгрузки очага за счет фильтрации. Что касается  $p_{kp}$ , то расчет предсказывает уменьшение этой величины с ростом размера частиц, что также наблюдается в экспериментах.

Из других зависимостей, изученных параметрически, рассмотрим влияние константы скорости послойного горения  $B$  и начальной температуры  $T_n$ . Как показали расчеты, при уменьшении  $B$  вдвое, что моделирует введение обычного ингибитора горения нитроклетчатки, величина  $H_{kp}$  почти не изменяется при размере частиц выше 0,2 мм, но оказывается существенно большей (в три и более раз) в случае частиц меньшего размера. В расчетах по влиянию  $T_n$  использовались данные по температурному коэффициенту скорости горения пороха Н, взятые из работы [8]. Как видно из табл. 4, расчет дал неожиданную картину: если в области повышенных температур наблюдается естественное уменьшение  $H_{kp}$  при увеличении  $T_n$ , то в области пониженных температур влияние  $T_n$  резко ослабляется. В ближайшее время эти результаты будут проверены экспериментально.

### Выводы

Отличительная особенность аварийных взрывов, происходящих при обращении с большими массами дисперсных ВВ, состоит в том, что развитие горения в очаге уже на начальных стадиях взрывного процесса испытывает сильное воздействие разгрузки, вызванной разлетом слоев ВВ, окружающих очаг. С помощью модельного подхода, воспроизводящего эту особенность и получившего название метод критической высоты слоя, проведено систематическое изучение критических условий ПГВ для ряда типичных ВВ в трубах разного диаметра. Параметры, измеряемые в критических условиях, могут найти применение для реалистической оценки склонности ВВ к ПГВ. Создана и проверена посредством сравнения с экспериментальными данными математическая модель процесса, в которой учтены переход от послойного горения в очаге к конвективному горению и эффекты, связанные с разгрузкой очага.

## ЛИТЕРАТУРА

1. Беляев А. Ф., Боболов В. К., Коротков А. И. и др. Переход горения конденсированных систем во взрыв.— М.: Наука, 1973.
2. Соколов А. В. Основы взрывобезопасного аппаратурного оформления стадии нитрования. Отчет филиала ВНИИХФИ, 1986.
3. Сулимов А. А., Ермолов Б. С. и др. ФГВ, 1987, 23, 6, 9.
4. Ермолов Б. С., Новожилов Б. В. и др. ФГВ, 1985, 21, 5, 3.
5. Соколовский В. В. Статика сыпучей среды.— М.: Физматгиз, 1960.
6. Ермолов Б. С., Посвяинский В. С. и др. ФГВ, 1983, 19, 4, 52.
7. Краснов Ю. К., Маргулис В. М. и др. ФГВ, 1970, 6, 3, 290.
8. Зельдович Я. Б., Лейпунский О. И., Либрович В. Б. Теория нестационарного горения пороха.— М.: Наука, 1975.

г. Москва

Поступила в редакцию 4/XII 1989

УДК 622.235

*А. П. Боронин, В. Н. Капинос, С. А. Кренев, В. Н. Минеев*

### О ФИЗИЧЕСКОМ МЕХАНИЗМЕ ГЕНЕРАЦИИ ЭЛЕКТРОМАГНИТНОГО ПОЛЯ ПРИ ВЗРЫВЕ ЗАРЯДОВ КОНДЕНСИРОВАННОГО ВВ. ОБЗОР ЛИТЕРАТУРЫ

Исследованиям процессов, сопровождающих взрывы твердых ВВ (главным образом газодинамических процессов), посвящено большое число экспериментальных и теоретических работ. В то же время явления, связанные с возникновением электромагнитных возмущений при взрывах твердых ВВ, изучены слабо.

Генерация электромагнитного поля взрывами, по-видимому, впервые описана в [1] и в дальнейшем изучалась экспериментально и теоретически в работах [1—16]. При исследовании распространения ударных волн (УВ) в твердых телах для получения ударных импульсов использовались взрывы небольших количеств ВВ [1], при этом зарегистрированы электрические помехи, для изучения которых поставлены дополнительные эксперименты по изучению электромагнитных возмущений взрыва.

В качестве приемных использовались штыревые антенны длиной  $l_a = 10$  см. Заряды из азода свинца, триодистоводородного азота и других ВВ подрывались на металлических и диэлектрических плитах. Во всех опытах наблюдался электрический импульс длительностью несколько микросекунд с максимумом, возникающим через 50 мкс после взрыва ВВ. Автор считает, что наиболее вероятное объяснение эффекта состоит в следующем. При взрыве образуется ионизированный слой воздуха за фронтом УВ, в котором из-за различной подвижности электронов и ионов разделяются заряды, что приводит к образованию некоторого эффективного электрического диполя. При увеличении радиуса фронта УВ и последующей рекомбинации зарядов изменяется электрический момент диполя и появляется поле во внешней области взрыва.

В [2] обнаружено и исследовано коротковолновое радиоизлучение, возникающее при взрывах ВВ в воздухе. Оно регистрировалось на частотах 3300, 190, 90, 14, 6 МГц и на видеочастотах  $< 1$  МГц. Измерения на всех частотах (кроме 3300 МГц) проводились антеннами с  $l_a = 50 \div 160$  см. На частоте 3300 МГц применялась рупорная антенна. Антенны располагались на расстоянии 10—200 см от взрыва. В качестве ВВ использовали азид свинца массой от 0,1 до 0,4 г, который размещали на деревянном основании на высоте 30 см от бетонного пола. Максимальное значение амплитуды радиоизлучения на расстоянии  $\sim 40$  см от